

# PbO 对 $\text{Pb}(\text{Zr}_{0.52}\text{Ti}_{0.48})\text{O}_3$ 压电陶瓷性能的影响

陈江丽，王斌科

(空军工程大学 理学院，陕西 西安 710051)

**摘要：**采用固相反应的方法制备了  $\text{Pb}(\text{Zr}_{0.52}\text{Ti}_{0.48})\text{O}_3$  (PZT) 压电陶瓷，研究了过量 PbO 对  $\text{Pb}(\text{Zr}_{0.52}\text{Ti}_{0.48})\text{O}_3$  压电陶瓷性能的影响。通过 XRD 和 SEM 研究了 PbO 过量对  $\text{Pb}(\text{Zr}_{0.52}\text{Ti}_{0.48})\text{O}_3$  压电陶瓷的晶相结构及显微形貌的影响，研究结果表明 PbO 过量不会影响  $\text{Pb}(\text{Zr}_{0.52}\text{Ti}_{0.48})\text{O}_3$  材料的相结构(均为钙钛矿结构)，但是 PbO 过量太多，会出现过烧现象及气孔等，PbO 过量为 5% mol 时结晶最好。测量了样品的密度、电阻率、压电系数以及介电性能，对这些测量结果的研究表明采用 850℃ 预烧、1 250℃ 终烧的烧结工艺，PbO 过量为 5% mol 的  $\text{Pb}(\text{Zr}_{0.52}\text{Ti}_{0.48})\text{O}_3$  压电陶瓷致密性好，密度最大，且具有良好的介电与压电性能，其压电系数最大为 322 pC/N。

**关键词：**压电陶瓷；固相反应； $\text{Pb}(\text{Zr}_{0.52}\text{Ti}_{0.48})\text{O}_3$ ；压电系数

**中图分类号：**TM282    **文献标识码：**A    **文章编号：**1009-3516(2008)04-0091-04

迄今为止，在实用的压电材料中，PZT 系压电陶瓷占主导地位，是由于其具有优良的铁电、压电和介电性能。众多人员都对 PZT 系压电陶瓷进行了广泛的研究<sup>[1-5]</sup>。常规的 PZT 系压电陶瓷烧结温度高(1 200℃ - 1 300℃)，PbO 挥发严重(其熔点为 880℃)，而 PbO 的挥发会导致配方偏离设计组份，出现非铁电相  $\text{ZrO}_2$ ，使 PZT 的介电性能和压电性能恶化，甚至样品变得松散多孔，为防止或减少样品中 PbO 挥发，常采用密封烧结，加过量 PbO，埋熟料粉，加气氛片等方法，但 PbO 添加过量多少，对其性能又有着很重要的影响。 $\text{Pb}(\text{Zr}_{0.52}\text{Ti}_{0.48})\text{O}_3$  压电陶瓷处于准同型相界，具有优越的介电性能和压电性能，是人们普遍关注的压电材料，为此，本文研究了不同过量的 PbO 对  $\text{Pb}(\text{Zr}_{0.52}\text{Ti}_{0.48})\text{O}_3$  微观结构与介电、压电性能的影响，实验结果得出了添加多少过量 PbO 能使得烧结时 PZT 压电陶瓷性能达到最好。

## 1 实验

### 1.1 试样制备

陶瓷的制备采用常用的氧化物法，以  $\text{PbO}$ (99.99%)、 $\text{ZrO}_2$ (99.0%)、 $\text{TiO}_2$ (99.9%) 为原料，PZT 采用的配方为  $\text{Pb}(\text{Zr}_{0.52}\text{Ti}_{0.48})\text{O}_3$ ，在此基础上掺入不同量的 PbO，根据文献报道<sup>[6-7]</sup>，确定 PbO 的掺杂量分别为 10% mol(PZT1)、5% mol(PZT2)、10% wt(PZT3)、5% wt(PZT4)。

其工艺过程大致为：按不同的化学配比秤好  $\text{PbO}$ 、 $\text{ZrO}_2$ 、 $\text{TiO}_2$ ，在无水乙醇中混合，氧化锆球作球磨介质，并球磨 6 h 后干燥，压块预烧，预烧温度选为 850℃ 和 870℃，粉碎二次球磨 8 h，干燥后加成形剂 PVA，压制成为  $\varnothing 10$  mm 的圆片，排粘后，并根据文献选取在 1 200℃ - 1 250℃ 下保温 2 h 密封烧结<sup>[8]</sup>，试样被后，在极化温度 110℃、极化场强 3 kV/mm 的条件下极化。

### 1.2 性能测试

采用排水法测量烧成密度，电阻率用 HP4339A 来测量。晶相分析采用 XRD(Rigaku D/Max - 2400, CuK $\alpha$ , Japan)，显微形貌采用扫描电镜(JSM - 6360, Japan)进行观测。介电常数和介电损耗用 HP4284A 来

收稿日期：2007-11-28

基金项目：国家自然科学基金资助项目(10474077)

作者简介：陈江丽(1971-)，女，讲师，博士生，陕西西安人，主要从事铁电铁磁复合材料研究。

E-mail:cjl427@mail.xjtu.edu.cn

测量。介电温谱采用计算机控制的 HP4284 阻抗分析仪介电温谱测试系统来测量。极化后的试样放 24 h 后采用 ZJ-3A 型准静态  $d_{33}$  测量仪, 测出压电常数  $d_{33}$ 。

## 2 结果与讨论

### 2.1 晶相分析和显微结构

图 1 为预烧 850℃、烧结 1 250℃ 的 4 个样品的 X 射线衍射图, 分析 X 射线谱, 各种掺杂后的试样通过与 XRD 标准卡片 (PCPDF33-0784) 对照, 基本生成  $\text{Pb}(\text{Zr}_{0.52}\text{Ti}_{0.48})\text{O}_3$  单相, 均为钙钛矿结构, 未出现恶化介电和压电性能的焦绿石相, 因此  $\text{PbO}$  的过量没有改变材料的晶型。

图 2 为样品在烧结温度为 1 250℃ 的扫描电镜照片, PZT1 没有明显的晶粒, 此时  $\text{PbO}$  过量较多时, 呈现过烧现象, 这是因为  $\text{PbO}$  熔点较低 (880℃) 而造成的, PZT3、PZT4 出现较多的孔洞, PZT2 ( $\text{PbO}$  过量为 5% mol 时) 晶粒发育较好, 而且非常致密, 粒径约在 2  $\mu\text{m}$ –5  $\mu\text{m}$ 。

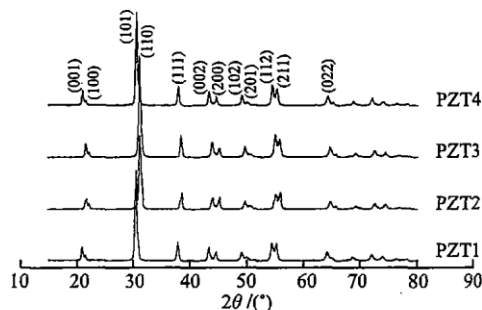


图 1 不同样品的 XRD 图谱

Fig. 1 XRD patterns of PZT samples

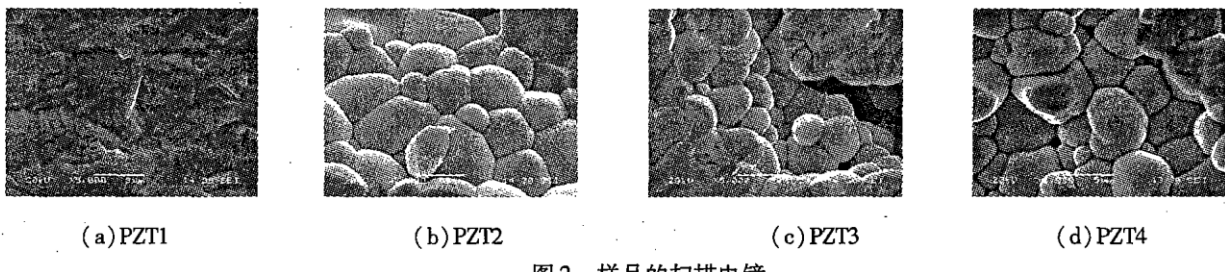


图 2 样品的扫描电镜

Fig. 2 Scanning electron microscope of samples

### 2.2 不同烧结条件对样品密度的影响

表 1 为预烧温度 850℃, 870℃, 烧结温度分别为 1 200℃、1 250℃ 时 4 种样品的密度, 可以看出这 4 种样品, 总是在预烧温度为 850℃、烧结温度为 1 250℃ 时密度最大, 说明此时的温度环境最好, 成瓷效果最好。下面介绍的材料性能都是在预烧温度为 850℃、烧结温度为 1 250℃ 的情况下获得的材料。

表 1 不同样品的密度

Tab. 1 The density of samples

预烧温度/℃	烧结温度/℃	PZT1	PZT2	PZT3	PZT4
850	1 200	7.222	7.016	7.451	7.097
850	1 250	7.477	7.328	7.493	7.415
870	1 200	6.661	6.497	6.834	6.370
870	1 250	6.649	6.725	6.662	6.676

### 2.3 不同过量的 $\text{PbO}$ 对 PZT 电阻率和压电系数的影响

不同过量的  $\text{PbO}$  对 PZT 电阻率的影响如表 2 所示, 可以看出当  $\text{PbO}$  过量为 5% mol 时, 电阻率最大, 其电阻率为  $1.59 \times 10^9 \Omega \cdot \text{mm}$ , 这是因为  $\text{PbO}$  过量较多时, 样品中会残存多余的  $\text{PbO}$ , 在高温的作用下会分解, 出现多余的电荷, 使电阻率降低, 而  $\text{PbO}$  过量为 5% mol 时, 从 SEM 照片可知, 材料的结构较为致密, 基本没有气空, 晶界分明, 这也可以使电阻率增大。

表 2 不同样品的电阻率

Tab. 2 The DC resistivity of samples

样品	PZT1	PZT2	PZT3	PZT4
电阻率 ( $\Omega \cdot \text{mm}$ )	$3.86 \times 10^8$	$1.59 \times 10^9$	$1.90 \times 10^8$	$1.27 \times 10^8$

表 3 为预烧温度 850℃、烧结 1 250℃ 的不同过量的  $\text{PbO}$  对压电系数的影响, 对表中数据进行比较, 发现 PZT2 的压电系数最大 (322 pC/N), 而实验得到 PZT 压电系数为 230 pC/N, 这与文献报道一致<sup>[9]</sup>。因此  $\text{PbO}$  适当的过量可以增加材料的压电系数。这是因为过量的  $\text{PbO}$  对  $\text{Pb}$  的挥发作了适当的补

偿,使结构中不会出现 Pb 缺位,因为这种 Pb 缺位在晶格场中形成两价的负电中心,容易俘获空穴,相当于在靠近价带顶部的禁带中形成受主能级,因此一般以 Pb 为主要成份的陶瓷,都具有 P 型(即空穴型)电导特性<sup>[10]</sup>。要减少 Pb 缺位,在这里加入适当过量的 PbO,不仅不会引入杂相,而且对在准同型相界处的 PZT 化学计量比不会有太大的偏差,同时还补偿了 Pb 的挥发,因此压电系数会最大。

表 3 不同样品的压电系数

Tab. 3 The piezoelectric content of samples

样品	PZT1	PZT2	PZT3	PZT4
$d_{33}$ (pC/N)	243	322	265	284

#### 2.4 不同样品的介电性能

表 4 为室温下不同样品的介电常数及介电损耗。可以看出 PbO 过量较多时,PbO 被熔化到试样中,出现过烧现象,晶粒发育不好,这一点在扫描电镜中可以得到证实,因此介电常数降低,损耗因子较大。PZT2 的样品的介电常数最高,损耗因子最小,再次证实了 PbO 过量 5% mol 最合适。

表 4 不同样品的介电常数及介电损耗

Tab. 4 Dielectric constant and dielectric loss of samples

样品	介电常数	介电损耗
PZT1 (10% molPbO)	922	0.028 52
PZT2 (5% molPbO)	961	0.004 12
PZT3 (10% wtPbO)	913	0.007 39
PZT4 (5% wtPbO)	955	0.019 56

图 3、图 4 为不同样品的介电温谱、介电损耗(测试频率为 1 000 kHz)从测量结果看,固态合成的各种不同的 PZT 样品其温谱特性基本一致:介电常数  $\epsilon$ ,从室温到 300℃ 区间随温度的变化较小,同时介电损耗  $\tan\delta$  在该温度范围内也很小,且变化不大。说明不同过量 PbO 的 PZT 样品在测试温度较低时介电性能稳定,在较低的测试温度下,PbO 的不同含量对 PZT 的介电常数影响不大,与文献报道的基本一致<sup>[11]</sup>。介电常数的峰值都是出现在 388℃ 附近,居里温度约为  $T_c = 388^\circ\text{C}$ 。只是在居里温度附近不同的样品(PZT1, PZT2, PZT3, PZT4)的相对介电常数不同,分别为:17 077, 22 606, 21 172, 23 036。

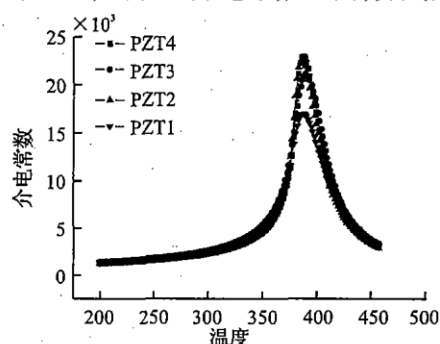


图 3 介电常数随温度变化(测试频率 1 000 kHz)

Fig. 3 Variation of dielectric constant with temperature (1 000 kHz)

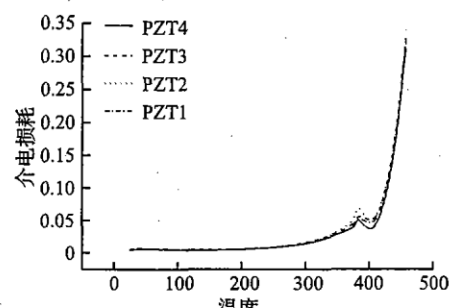


图 4 介电损耗随温度变化(测试频率 1 000 kHz)

Fig. 4 Variation of dielectric loss with temperature (1 000 kHz)

### 3 结论

- 1) XRD 分析表明,PbO 过量并没有改变 PZT 压电材料的结构,仍为钙钛矿结构;
- 2) SEM 表明,PbO 过量 5% mol 的 PZT,结构致密,晶粒发育较好;
- 3) 通过密度测试得到最佳烧结条件为 850℃ 预烧,1 250℃ 终烧;
- 4) PbO 过量可以改善 Pb(Zr<sub>0.52</sub>Ti<sub>0.48</sub>)O<sub>3</sub> 陶瓷的性能,当加入过量为 5% mol 时,PZT 材料的电阻率最大为  $1.59 \times 10^9 \Omega \cdot \text{mm}$ ,压电常数  $d_{33}$  也是最大,为 322 pC/N;

5) PbO 过量可以增加 PZT 的介电常数,减小损耗,当过量为 5% mol 时,介电常数最大,损耗最小。

### 参考文献:

- [1] HOUA Y D,ZHUA M K,WANG H,et al. Piezoelect Ric Properties of New MnO<sub>2</sub> Added 0. 2 PZN - 0. 8 PZT Ceramic [J]. Materials Letters ,2004 , 58 :1508 - 1512.
- [2] Kim Cheol Su ,Kim Seong Kon ,Lee Sang Yeol. Piezoelect ric Properties of New PZT - PMWSN Ceramic [ J ] . Materials Letters ,2003 , 57 :2233 - 2237.
- [3] Gui Z L,Li L T ,Gao S H, et al. Influence of the Calcining Temperature on the Sintering and Properties of PZT[J] . J Am Ceram Soc,1989 ,72 (3) :386 - 391.
- [4] Guo Dong , Li Long Tu , Nan Ce Wen ,et al. Modeling and Analysis of the Electrical Properties of PZT Through Neuralnetworks [ J ] . Journal of the European Ceramic Society ,2003 , 23 :2177 - 2181.
- [5] 杜红亮,裴志斌,车俊,等. PNW - PMS - PZT 压电陶瓷的制备及性能研究[J]. 空军工程大学学报:自然科学版,2004, 5(4) :83 - 87.  
DU Hongliang , PEI Zhibin, CHE Jun,et al. A Study of Properties and Preparation for PNW - PMS - PZT Piezoelectric Ceramics[J]. Journal of Air Force Engineering University:Natural Science Edition,2004,5(4):83 - 87. (in Chinese)
- [6] Nasar R S, Cerqueira M. Experimental and Theoretical Study of the Ferroelectric and Piezoelectric Behavior of Strontium - doped PZT [ J ]. Journal of the European Ceramics Society,2002,22:209 - 218.
- [7] 陈聪.掺杂 PZT 压电陶瓷材料的研制[J].陶瓷研究,1996,11(2) :88 - 94.  
CHEN Cong. The Study of the Doped PZT Piezoelectric Ceramic[J]. Ceramic Studies Journal , 1996,11(2) :88 - 94. ( in Chinese )
- [8] 王华. Pb(Zr<sub>0.52</sub>Ti<sub>0.48</sub>)O<sub>3</sub> 铁电陶瓷烧结工艺及性能研究[J]. 电子元件与材料,2002,21(10) : 1 - 3.  
WANG Hua, Study on the Sintering Technology and Characteristics of Pb(Zr<sub>0.52</sub>Ti<sub>0.48</sub>)O<sub>3</sub> Ferroelectric Ceramic[J]. Electronic Components& Materials , 2002,21(10) : 1 - 3. ( in Chinese )
- [9] 崔万秋,周玉琴,陈国. PZT 及掺 La<sup>3+</sup>、Nb<sup>5+</sup> PZT 的性能初探和态密度计算[J]. 武汉工业大学学报,1996,18(2) :5 - 8.  
CUI Wanqiu,ZHOU Yuqin,CHEN guo. Study on Properties and DOS Calculation of PZT and La<sup>3+</sup>、Nb<sup>5+</sup> Doped PZT[J]. Journal of Wuhan University of Technology , 1996,18(2) :5 - 8. ( in Chinese )
- [10] 张德颖,章秀淦,郭太良,等. 锆钛酸铅陶瓷的烧结性能[J]. 福州大学学报:自然科学版,1999 , 27 (6) :42 - 44.  
ZHANG Deying , ZHANG Xiugan , GUO Tai liang, et al. Sintering Behavior of Lead Zirconate Titanate Ceramic[J]. Journal of Fuzhou University:Natural Science , 1999 , 27 (6) :42 - 44. ( in Chinese )
- [11] Kong L B,Ma J,Huang H T,et al. Lead Zirconate Titanate Ceramics Derived From Oxide Mixture Treated by a High - energy Ball Milling Process[J]. Materials Letters ,2001 ,50:129 - 133.

( 编辑:徐楠楠 )

## The Effect of PbO on Properties of Pb(Zr<sub>0.52</sub>Ti<sub>0.48</sub>)O<sub>3</sub> Ceramics

CHEN Jiang - li , WANG Bin - ke

( Science Institute , Air Force Engineering University , Xi'an 710051 , China )

**Abstract:** The piezoelectric ceramics Pb(Zr<sub>0.52</sub>Ti<sub>0.48</sub>)O<sub>3</sub> (PZT) are prepared by traditional solid - synthesis. The Effect of PbO on Properties of Pb(Zr<sub>0.52</sub>Ti<sub>0.48</sub>)O<sub>3</sub> Ceramics are studied. The effect of PbO in different content on phase structure and microstructure of PZT ceramics are investigated by X - ray diffraction ( XRD ) and scanning electron microscopy ( SEM ). The phase structure of PZT will not be affected by PbO ( perovskite ) in excessive content. When the content of PbO is more excessive, the phenomena of over sintering and pore will appear. PZT + 0. 5mol PbO is optimized crystal. The density、dc resistivity、piezoelectric and dielectric properties are measured. The results show that the optimum composition is PZT + 0. 5% molPbO which have good dielectric and piezoelectric characteristics by pre - sintering at 850°C and sintering at 1 250°C. The maximum value of piezoelectric constant d33 is found to be 322 pC/N.

**Key words:** piezoelectric ceramics; solid - synthesis; Pb(Zr<sub>0.52</sub>Ti<sub>0.48</sub>)O<sub>3</sub>; piezoelectric constant